

# Contrôle en temps optimal et nage à bas nombre de Reynolds

Jérôme Lohéac

Université de Lorraine,  
Institut Élie Cartan

Soutenance de Thèse

6 Décembre 2012

- 1 Généralités sur les problèmes de contrôle
- 2 Temps optimal pour des systèmes de dimension infinie
- 3 Problème de la nage
- 4 Nage en symétrie axiale
- 5 Conclusion générale

## 1 Généralités sur les problèmes de contrôle

## 2 Temps optimal pour des systèmes de dimension infinie

## 3 Problème de la nage

## 4 Nage en symétrie axiale

## 5 Conclusion générale

# Problème de contrôlabilité

Temps optimal et  
notation

Soient  $X$  et  $U$  deux espaces et  $F : X \times U \rightarrow X$ . On considère le problème de Cauchy :

J. Lohéac

$$\dot{z} = F(z, u), \quad z(0) = z_0 \in X. \quad (1)$$

Généralités

Pontryagin

Introduction  
Extension  
Schrödinger  
Conclusion

Nage

Introduction  
Modélisation  
Déformations  
EDO  
Contrôle  
Conclusion

Nage axi-  
symétrique

Contrôle  
Linéarisation  
Numérique  
Conclusion

Conclusion

## Question

Soit  $z_1 \in X$ ,  $z_1 \neq z_0$ . Existe-t-il  $T > 0$  et  $u : [0, T] \rightarrow U$  tels que la solution de (1) satisfasse :

$$z(T) = z_1 ?$$

Pour la dimension finie :

- Cas des systèmes linéaires :
  - Méthode du rang de Kalman.
- Cas des systèmes non linéaires :
  - Méthode des crochets de Lie :
    - A. A. Agrachev et Y. L. Sachkov,  
*Control theory from the geometric viewpoint*, 2004
  - Méthode du retour :
    - J.-M. Coron,  
*Control and nonlinearity*, 2007

Pour la dimension infinie :

- Cas des systèmes linéaires :
  - Inégalités de Carleman :
    - M. Tucsnak et G. Weiss,  
*Observation and control for operator semigroups*, 2009
- Cas des systèmes non linéaires :
  - Méthode du retour
  - ...

# Problème de contrôlabilité en temps optimal I

On considère le problème de Cauchy :

$$\dot{z} = F(z, u), \quad z(0) = z_0 \in X.$$

Soit  $z_1 \in X$ ,  $z_1 \neq 0$ . On suppose qu'il existe un temps de contrôle  $T$  et un contrôle  $u \in L^\infty([0, T], U)$  avec :

$$\|u(t)\|_U \leq 1 \quad (t \in [0, T] \text{ p.p.})$$

satisfaisant :

$$z(T) = z_1.$$

## Question

- Existe-t-il un temps minimal  $T^* > 0$  et un contrôle  $u^* \in L^\infty([0, T^*], U)$  avec  $\|u^*\|_{L^\infty([0, T^*], U)} \leq 1$  tels que la solution du problème de Cauchy :

$$\dot{z} = F(z, u^*), \quad z(0) = z_0,$$

satisfasse :  $z(T^*) = z_1$  ?

- Obtenir des conditions d'optimalité, *principe du maximum de Pontryagin*.
- $u^*$  est-il *unique* ?
- $u^*$  est-il *bang-bang*, i.e.

$$\|u^*(t)\|_U = 1 \quad (t \in [0, T^*] \text{ p.p.}) ?$$

# Méthodes de résolution

Temps  
optimal et  
natation

J. Lohéac

Généralités

Pontryagin

Introduction

Extension

Schrödinger

Conclusion

Nage

Introduction

Modélisation

Déformations

EDO

Contrôle

Conclusion

Nage axi-  
symétrique

Contrôle

Linéarisation

Numérique

Conclusion

Conclusion

Pour la dimension finie :

- Principe du maximum de Pontryagin :
  - A. D. Ioffe et V. M. Tihomirov,  
*Theory of extremal problems*, 1979
- Systèmes linéaires :
  - R. Bellman, I. Glicksberg, et O. Gross,  
*On the "bang-bang" control problem*, 1956

Pour la dimension infinie :

- Systèmes linéaires :
  - H. O. Fattorini,  
*Infinite dimensional linear control systems*, 2005

- 1 Généralités sur les problèmes de contrôle
- 2 Temps optimal pour des systèmes de dimension infinie
  - Introduction
  - Extension du principe du maximum de Pontryagin
  - Application à l'équation de Schrödinger
  - Conclusion et questions ouvertes
- 3 Problème de la nage
- 4 Nage en symétrie axiale
- 5 Conclusion générale

## 2 Temps optimal pour des systèmes de dimension infinie

- Introduction
- Extension du principe du maximum de Pontryagin
- Application à l'équation de Schrödinger
- Conclusion et questions ouvertes

Soit  $\mathbb{T} = (\mathbb{T}_t)_{t \geq 0}$  un semi-groupe fortement continu généré par un opérateur  $A : \mathcal{D}(A) \rightarrow X$  et soit  $B \in \mathcal{L}(U, X)$  un opérateur de contrôle borné. On considère le système dynamique :

$$\dot{z} = Az + Bu, \quad z(0) = z_0 \in X, \quad (2)$$

avec  $u \in L^2([0, T], U)$ . La solution de (2) s'écrit :

$$z(t) = \mathbb{T}_t z_0 + \Phi_t u \quad (t \in [0, T]),$$

où les applications  $\Phi_t \in \mathcal{L}(L^2([0, t], U), X)$  sont les applications *entrée-sortie* :

$$\Phi_t u = \int_0^t \mathbb{T}_{t-s} B u(s) ds.$$

## Définition

Le couple  $(A, B)$  est dit :

- *approximativement contrôlable en temps  $\tau$*  si  $\text{Im } \Phi_\tau$  est dense dans  $X$  ;
- *exactement contrôlable en temps  $\tau$*  si  $\text{Im } \Phi_\tau = X$ .

## Définition

Soit  $e \subset [0, \tau]$  un ensemble de mesure de Lebesgue strictement positive. Le couple  $(A, B)$  est dit *approximativement contrôlable en temps  $\tau$  depuis  $e$*  si l'image de l'application

$\Phi_{\tau, e} \in \mathcal{L}(L^2([0, \tau], U), X)$  définie par :

$$\Phi_{\tau, e} u = \int_e \mathbb{T}_{\tau-s} B u(s) ds \quad (u \in L^2([0, \tau], U)),$$

est dense dans  $X$ .

## 2 Temps optimal pour des systèmes de dimension infinie

- Introduction
- **Extension du principe du maximum de Pontryagin**
- Application à l'équation de Schrödinger
- Conclusion et questions ouvertes

# Ensemble atteignable avec des contrôles $L^\infty$

Notons  $R_t^\infty = \Phi_t(L^\infty([0, t], U))$ . On munit  $R_t^\infty$  de la norme :

$$\|z\|_{R_t^\infty} = \inf\{\|u\|_{L^\infty([0, t], U)}, \Phi_t u = z\}.$$

La boule unité fermée de  $R_t^\infty$  est notée :

$$B_t^\infty(1) = \{\Phi_t u, u \in L^\infty([0, t], U), \|u\|_{L^\infty([0, t], U)} \leq 1\}.$$

# Ensemble atteignable avec des contrôles $L^\infty$

Notons  $R_t^\infty = \Phi_t(L^\infty([0, t], U))$ . On munit  $R_t^\infty$  de la norme :

$$\|z\|_{R_t^\infty} = \inf\{\|u\|_{L^\infty([0, t], U)}, \Phi_t u = z\}.$$

La boule unité fermée de  $R_t^\infty$  est notée :

$$B_t^\infty(1) = \{\Phi_t u, u \in L^\infty([0, t], U), \|u\|_{L^\infty([0, t], U)} \leq 1\}.$$

Si  $(A, B)$  est exactement contrôlable en tout temps  $t > 0$  et  $B$  est un opérateur de contrôle borné alors :

$$R_t^\infty = X \quad (t > 0).$$

# Principe du maximum

## Théorème (J. L., M. Tucsnak)

*On suppose que le couple  $(A, B)$  est exactement contrôlable en tout temps  $\tau > 0$  et que  $z_0, z_1 \in X$ ,  $z_0 \neq z_1$ , sont tels qu'il existe  $\tau > 0$  tel que  $z_1 - \mathbb{T}_\tau z_0 \in B_\tau^\infty(1)$ .*

*Alors, il existe un temps minimal :*

$$\tau^* = \tau^*(z_0, z_1) = \min \{t > 0, z_1 - \mathbb{T}_t z_0 \in B_t^\infty(1)\} > 0$$

*et un contrôle en temps optimal  $u^* \in L^\infty([0, \tau^*], U)$ , avec  $\|u^*\|_{L^\infty([0, \tau^*], U)} \leq 1$  envoyant  $z_0$  sur  $z_1$  en temps  $\tau^*$ .*

*De plus, il existe  $\eta \in X \setminus \{0\}$  tel que :*

$$\langle B^* \mathbb{T}_{\tau^* - t}^* \eta, u^*(t) \rangle_U = \max_{\substack{v \in U, \\ \|v\|_U \leq 1}} \langle B^* \mathbb{T}_{\tau^* - t}^* \eta, v \rangle_U \quad (t \in [0, \tau^*] \text{ p.p.}).$$

# Résultat d'accessibilité

Temps optimal et notation

J. Lohéac

Généralités

Pontryagin

Introduction

Extension

Schrödinger

Conclusion

Nage

Introduction

Modélisation

Déformations

EDO

Contrôle

Conclusion

Nage axi-symétrique

Contrôle

Linéarisation

Numérique

Conclusion

Conclusion

Si  $A$  est un opérateur **antiadjoint** et si on suppose que  $R_t^\infty = X$  pour tout  $t > 0$ .

Alors pour tout  $z_0, z_1 \in X$ ,  $z_0 \neq z_1$  alors il existe  $\tau > 0$  tel que :

$$\mathbb{T}_\tau z_0 - z_1 \in B_\tau^\infty(1).$$

i.e. : il existe  $\tau > 0$  et  $u \in L^\infty([0, \tau], U)$  avec  $\|u(t)\|_{L^\infty([0, \tau], U)} \leq 1$  tel que :

$$z_1 = \mathbb{T}_\tau z_0 + \Phi_\tau u.$$

# $u^*$ est unique et bang-bang

## Corollaire (J. L., M. Tucsnak)

*Supposons que  $(A, B)$ ,  $z_0$  et  $z_1$  satisfont les hypothèses du théorème précédent.*

*On suppose de plus que le couple  $(A, B)$  est approximativement contrôlable en temps  $\tau^*$  depuis tout ensemble  $e \subset [0, \tau^*]$  de mesure strictement positive.*

*Alors le contrôle en temps optimal  $u^* \in L^\infty([0, \tau^*], U)$ , avec  $\|u^*\|_{L^\infty([0, \tau^*], U)} \leq 1$ , envoyant  $z_0$  sur  $z_1$  en temps  $\tau^* = \tau^*(z_0, z_1)$  est **unique et bang-bang**, i.e. :*

$$\|u^*(t)\|_U = 1 \quad (t \in [0, \tau^*] \quad p, p.).$$

## 2 Temps optimal pour des systèmes de dimension infinie

- Introduction
- Extension du principe du maximum de Pontryagin
- Application à l'équation de Schrödinger
- Conclusion et questions ouvertes

# Pour Schrödinger

Temps  
optimal et  
notation

J. Lohéac

Généralités

Pontryagin

Introduction

Extension

Schrödinger

Conclusion

Nage

Introduction

Modélisation

Déformations

EDO

Contrôle

Conclusion

Nage axi-

symétrique

Contrôle

Linéarisation

Numérique

Conclusion

Conclusion

Considérons le système :

$$\begin{aligned} \dot{z}(x, t) &= i(-\Delta + a(x))z(x, t) + u(x, t)\chi_{\mathcal{O}}(x) & (x \in \Omega, t \geq 0), \\ z(x, t) &= 0 & (x \in \partial\Omega, t \geq 0), \end{aligned}$$

où  $\Omega$  est un ouvert borné de  $\mathbb{R}^n$  et  $\mathcal{O}$  est un ouvert de  $\Omega$ .

Supposons que l'une des deux hypothèses ci-dessous ait lieu.

**H1**  $\partial\Omega$  est de classe  $C^3$ ,  $a \in L^\infty(\Omega, \mathbb{R})$  et  $\mathcal{O}$  satisfait les conditions de l'optique géométrique ;

**H2**  $\Omega$  est un domaine rectangulaire,  $a \in \mathbb{R}$  est une constante et  $\mathcal{O}$  est un ouvert non vide de  $\Omega$ .

Notons  $X = L^2(\Omega)$  et  $U = L^2(\mathcal{O})$ .

Par changement de variable, on peut supposer que  $a \geq 0$ .

$A$  est l'opérateur de domaine  $\mathcal{D}(A) = H^2(\Omega) \cap H_0^1(\Omega)$  défini par :

$$Az = i(-\Delta + a(x))z \quad (z \in \mathcal{D}(A)).$$

$B \in \mathcal{L}(U, X)$  est l'opérateur de contrôle défini par :

$$Bu = \chi_{\mathcal{O}} u \quad (u \in U).$$

- ① Sous l'une des hypothèses H1 ou H2, le couple  $(A, B)$  est exactement contrôlable en tout temps  $\tau > 0$ .

H1 N. Burq, *Contrôlabilité exacte des ondes dans des ouverts peu réguliers*, 1997 et

M. Tucsnak et G. Weiss, *Observation and control for operator semigroups*, 2009

H2 S. Jaffard, *Contrôle interne exact des vibrations d'une plaque carrée*, 1988 ou

V. Komornik, *On the exact internal controllability of a Petrovsky system*, 1992

- ② Pour tout  $z_0, z_1 \in X$ ,  $z_0 \neq z_1$ , il existe  $\tau > 0$  tel que :
- $$z_1 - \mathbb{T}_\tau z_0 \in B_\tau^\infty(1).$$
- $A$  est antiadjoint et  $(A, B)$  est exactement contrôlable.

*Montrons que  $(A, B)$  est approximativement contrôlable depuis tout ensemble  $e \subset [0, \tau^*]$  de mesure strictement positive.*

De façon équivalente, montrons que si la solution  $z$  du problème :

$$\dot{z} = A^* z, \quad z(0) = z_0 \in X,$$

satisfait :

$$B^* z(t) = \chi_{\mathcal{O}} z(t) = 0 \quad (t \in e),$$

alors :

$$z_0 = 0.$$

# Preuve II

$u^*$  est bang-bang et unique

- 1  $A^*$  est diagonalisable et  $\sigma(A^*) \subset i(-\infty, 0]$ .

Temps  
optimal et  
natation

J. Lohéac

Généralités

Pontryagin

Introduction

Extension

**Schrödinger**

Conclusion

Nage

Introduction

Modélisation

Déformations

EDO

Contrôle

Conclusion

Nage axi-  
symétrique

Contrôle

Linéarisation

Numérique

Conclusion

Conclusion

# Preuve II

$u^*$  est bang-bang et unique

Temps  
optimal et  
notation

J. Lohéac

Généralités

Pontryagin

Introduction

Extension

**Schrödinger**

Conclusion

Nage

Introduction

Modélisation

Déformations

EDO

Contrôle

Conclusion

Nage axi-  
symétrique

Contrôle

Linéarisation

Numérique

Conclusion

Conclusion

①  $A^*$  est diagonalisable et  $\sigma(A^*) \subset i(-\infty, 0]$ .

②  $t \mapsto \chi_{\mathcal{O}z}(t)$  admet un prolongement analytique sur :

$$\{x + iy, x \in \mathbb{R}, y \in \mathbb{R}_-\} \subset \mathbb{C}.$$

# Preuve II

$u^*$  est bang-bang et unique

Temps  
optimal et  
natation

J. Lohéac

Généralités

Pontryagin

Introduction

Extension

Schrödinger

Conclusion

Nage

Introduction

Modélisation

Déformations

EDO

Contrôle

Conclusion

Nage axi-  
symétrique

Contrôle

Linéarisation

Numérique

Conclusion

Conclusion

①  $A^*$  est diagonalisable et  $\sigma(A^*) \subset i(-\infty, 0]$ .

②  $t \mapsto \chi_{\mathcal{O}z}(t)$  admet un prolongement analytique sur :

$$\{x + iy, x \in \mathbb{R}, y \in \mathbb{R}_-\} \subset \mathbb{C}.$$

③ Le théorème d'unicité de Privalov permet de conclure :

$$\chi_{\mathcal{O}z}(t) = 0 \quad (t \in \mathbb{R}).$$

# Preuve II

$u^*$  est bang-bang et unique

Temps optimal et  
notation

J. Lohéac

Généralités

Pontryagin

Introduction

Extension

Schrödinger

Conclusion

Nage

Introduction

Modélisation

Déformations

EDO

Contrôle

Conclusion

Nage axi-  
symétrique

Contrôle

Linéarisation

Numérique

Conclusion

Conclusion

①  $A^*$  est diagonalisable et  $\sigma(A^*) \subset i(-\infty, 0]$ .

②  $t \mapsto \chi_{0z}(t)$  admet un prolongement analytique sur :

$$\{x + iy, x \in \mathbb{R}, y \in \mathbb{R}_-^*\} \subset \mathbb{C}.$$

③ Le théorème d'unicité de Privalov permet de conclure :

$$\chi_{0z}(t) = 0 \quad (t \in \mathbb{R}).$$

④ La contrôlabilité exacte du couple  $(A, B)$  implique :

$$z_0 = 0.$$

## 2 Temps optimal pour des systèmes de dimension infinie

- Introduction
- Extension du principe du maximum de Pontryagin
- Application à l'équation de Schrödinger
- Conclusion et questions ouvertes

# Conclusion

Temps  
optimal et  
natation

J. Lohéac

Généralités

Pontryagin

Introduction

Extension

Schrödinger

Conclusion

Nage

Introduction

Modélisation

Déformations

EDO

Contrôle

Conclusion

Nage axi-  
symétrique

Contrôle

Linéarisation

Numérique

Conclusion

Conclusion

- Le principe du maximum de Pontryagin est vérifié pour l'équation des plaques.  
La propriété bang-bang est une question ouverte.
- Les résultats restent vrais pour les opérateurs de contrôles admissibles.  
Montrer que l'équation de Schrödinger est contrôlable en tout temps avec des contrôles dans  $L^\infty$  n'agissant que sur la frontière du domaine est une question ouverte.

# Conclusion

Temps  
optimal et  
natation

J. Lohéac

Généralités

Pontryagin

Introduction

Extension

Schrödinger

Conclusion

Nage

Introduction

Modélisation

Déformations

EDO

Contrôle

Conclusion

Nage axi-  
symétrique

Contrôle

Linéarisation

Numérique

Conclusion

Conclusion

- Le principe du maximum de Pontryagin est vérifié pour l'équation des plaques.  
La propriété bang-bang est une question ouverte.
- Les résultats restent vrais pour les opérateurs de contrôles admissibles.  
Montrer que l'équation de Schrödinger est contrôlable en tout temps avec des contrôles dans  $L^\infty$  n'agissant que sur la frontière du domaine est une question ouverte.
- Forme de l'ensemble des temps de saut ?
- Calcul numérique du temps optimal et d'un contrôle en temps optimal ?
- Si l'espace des contrôles est non hilbertien ?

- 1 Généralités sur les problèmes de contrôle
- 2 Temps optimal pour des systèmes de dimension infinie
- 3 Problème de la nage**
  - Introduction
  - Problème physique
  - Déformations d'un nageur
  - Problème de dimension finie
  - Résultat de contrôlabilité
  - Conclusion et questions ouvertes
- 4 Nage en symétrie axiale

### 3 Problème de la nage

- Introduction
- Problème physique
- Déformations d'un nageur
- Problème de dimension finie
- Résultat de contrôlabilité
- Conclusion et questions ouvertes

# Motivations

Temps optimal et natation

J. Lohéac

Généralités

Pontryagin

Introduction  
Extension  
Schrödinger  
Conclusion

Nage

Introduction  
Modélisation  
Déformations  
EDO  
Contrôle  
Conclusion

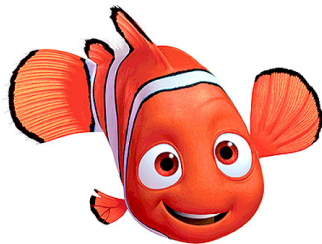
Nage axisymétrique

Contrôle  
Linéarisation  
Numérique  
Conclusion

Conclusion

Le problème de la nage est vu comme un problème de contrôle. Étant donnés deux points, le poisson peut-il aller de l'un à l'autre ?

Le déplacement du poisson est dû aux interactions fluide-structure.



© Disney/Pixar

# Le fluide

Le nombre de Reynolds :  $Re = \frac{\rho UL}{\mu}$ .



Exemples :

	$L$ (cm)	$U$ (cm.s <sup>-1</sup> )	$T$ (s)	$Re$
Bactérie	$10^{-5}$	$10^{-3}$	$10^{-4}$	$10^{-5}$
Spermatozoïde	$10^{-3}$	$10^{-2}$	$10^{-2}$	$10^{-3}$
Poisson	50	100	0.5	$5 \cdot 10^4$
Pigeon	25	$10^3$	$5 \cdot 10^{-1}$	$10^5$

# Les Déformations I

Temps optimal et natation

J. Lohéac

Généralités

Pontryagin

Introduction

Extension

Schrödinger

Conclusion

Nage

Introduction

Modélisation

Déformations

EDO

Contrôle

Conclusion

Nage axi-symétrique

Contrôle

Linéarisation

Numérique

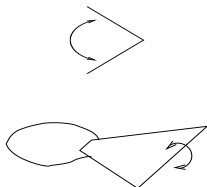
Conclusion

Conclusion

Toutes les déformations ne sont pas intéressantes du point de vue de la motilité.

**Théorème (Coquille Saint Jacques, Purcell, 1977)**

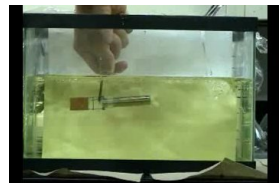
*Pour une déformation réversible en temps, le déplacement du nageur est nul.*



Pas de déplacement



en fluide de Stokes



Expérience de Taylor

# Les Déformations II

Temps optimal et natation

J. Lohéac

Généralités

Pontryagin

Introduction

Extension

Schrödinger

Conclusion

Nage

Introduction

Modélisation

Déformations

EDO

Contrôle

Conclusion

Nage axi-symétrique

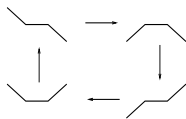
Contrôle

Linéarisation

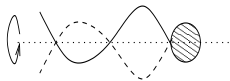
Numérique

Conclusion

Conclusion



Nageur de Purcell



Déformation hélicoïdale

Déplacement



en fluide de Stokes



Expérience de Taylor

- Modélisation de la nage :
  - Expériences :
    - G. Taylor,  
*Analysis of the swimming of microscopic organisms*, 1951
  - Mise en évidence de certaines particularités physiques :
    - E. M. Purcell,  
*Life at low Reynolds number*, 1977
    - S. Childress,  
*Mechanics of swimming and flying*, 1981
    - A. Shapere et F. Wilczek,  
*Geometry of self-propulsion at low Reynolds number et  
Efficiencies of self-propulsion at low Reynolds number*,  
1989

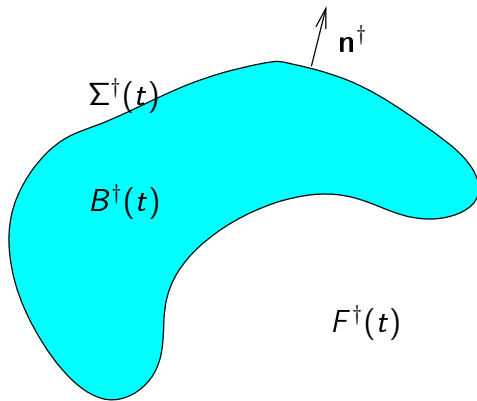
- Résultats de contrôlabilité :
  - En fluide d'Euler :
    - T. Chambrion et A. Munnier,  
*Locomotion and control of a self-propelled shape-changing body in a fluid*, 2011
    - O. Glass et L. Rosier,  
*On the control of the motion of a boat*, 2011
  - En fluide de Navier-Stokes :
    - J.-P. Raymond,  
*Feedback stabilization of a fluid–structure model*, 2011
  - En fluide de Stokes :
    - F. Alouges, A. DeSimone et A. Lefebvre,  
*Optimal strokes for low Reynolds number swimmers : an example*, 2008
    - J. San Martín, T. Takahashi et M. Tucsnak,  
*A control theoretic approach to the swimming of microscopic organisms*, 2007

### 3 Problème de la nage

- Introduction
- **Problème physique**
- Déformations d'un nageur
- Problème de dimension finie
- Résultat de contrôlabilité
- Conclusion et questions ouvertes

# Domaine

Soit  $B^\dagger(t)$  le domaine occupé par le nageur,  $\Sigma^\dagger(t)$  sa frontière et  $F^\dagger(t) = \mathbb{R}^3 \setminus \overline{B^\dagger(t)}$  le domaine fluide.



Temps optimal et natation

J. Lohéac

Généralités

Pontryagin

Introduction

Extension

Schrödinger

Conclusion

Nage

Introduction

**Modélisation**

Déformations

EDO

Contrôle

Conclusion

Nage axisymétrique

Contrôle

Linéarisation

Numérique

Conclusion

Conclusion

Équations de Navier-Stokes :

$$\begin{aligned} \rho(\partial_t \mathbf{u} + (\mathbf{u} \cdot \nabla) \mathbf{u}) + \nabla p - \nu \Delta \mathbf{u} &= \mathbf{0}, \\ \operatorname{div} \mathbf{u} &= 0, \end{aligned} \quad (\text{NS})$$

posées sur  $\{(x, t) \in \mathbb{R}^3 \times \mathbb{R}_+, x \in F^\dagger(t)\}$ .

Équations de Navier-Stokes :

$$\begin{aligned}\rho(\partial_t \mathbf{u} + (\mathbf{u} \cdot \nabla) \mathbf{u}) + \nabla p - \nu \Delta \mathbf{u} &= \mathbf{0}, \\ \operatorname{div} \mathbf{u} &= 0,\end{aligned}\quad (\text{NS})$$

posées sur  $\{(x, t) \in \mathbb{R}^3 \times \mathbb{R}_+, x \in F^\dagger(t)\}$ .

Le fluide est au repos à l'infini et colle à la frontière du nageur, i.e.  $\mathbf{u} = \mathbf{v}_S$  sur  $\Sigma^\dagger(t)$ , où  $\mathbf{v}_S$  est la vitesse du nageur.

Équations de Navier-Stokes :

$$\begin{aligned}\rho(\partial_t \mathbf{u} + (\mathbf{u} \cdot \nabla) \mathbf{u}) + \nabla p - \nu \Delta \mathbf{u} &= \mathbf{0}, \\ \operatorname{div} \mathbf{u} &= 0,\end{aligned}\quad (\text{NS})$$

posées sur  $\{(x, t) \in \mathbb{R}^3 \times \mathbb{R}_+, x \in F^\dagger(t)\}$ .

Le fluide est au repos à l'infini et colle à la frontière du nageur, i.e.  $\mathbf{u} = \mathbf{v}_S$  sur  $\Sigma^\dagger(t)$ , où  $\mathbf{v}_S$  est la vitesse du nageur.

Soit  $\sigma = \nu(\nabla \mathbf{u} + (\nabla \mathbf{u})^T) - p\mathbf{I}_3 \in \mathbb{R}^{3 \times 3}$ , le *tenseur de contraintes*.

La force exercée par le fluide sur le nageur est :

$$\int_{\Sigma^\dagger(t)} \sigma \mathbf{n}^\dagger \, d\Gamma.$$

# L'objet I

Temps optimal et notation

J. Lohéac

Généralités

Pontryagin

Introduction

Extension

Schrödinger

Conclusion

Nage

Introduction

Modélisation

Déformations

EDO

Contrôle

Conclusion

Nage axisymétrique

Contrôle

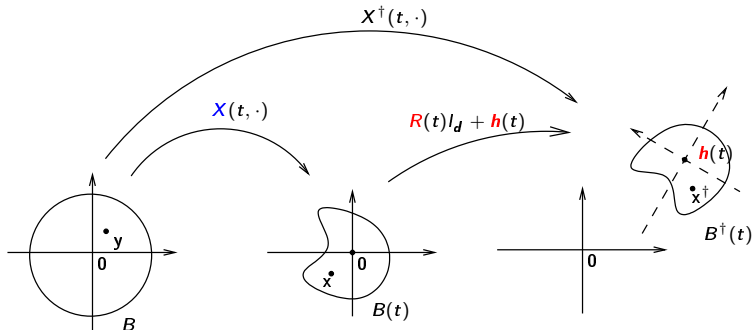
Linéarisation

Numérique

Conclusion

Conclusion

Le nageur est repéré par la position de son centre de masse  $\mathbf{h} \in \mathbb{R}^3$  et sa position angulaire  $R \in SO(3)$ .



# L'objet II

La vitesse d'un point  $x = X^\dagger(y, t)$  de  $B^\dagger(t)$  est :

$$\mathbf{v}_S = \dot{\mathbf{h}}(t) + \boldsymbol{\omega}(t) \wedge (x - \mathbf{h}(t)) + \mathbf{w}^\dagger(x, t).$$

Avec  $\boldsymbol{\omega}$  défini par :

$$\dot{R} = RA(\boldsymbol{\omega})$$

et  $\mathbf{w}^\dagger$  la vitesse de déformation dans un système de coordonnées fixe :

$$\mathbf{w}^\dagger(x, t) = R(t) \partial_t X \left( X(\cdot, t)^{-1} (R^T(t)(x - \mathbf{h}(t))), t \right)$$

# L'objet III

Temps  
optimal et  
natation

J. Lohéac

Généralités

Pontryagin

Introduction  
Extension  
Schrödinger  
Conclusion

Nage

Introduction  
Modélisation  
Déformations  
EDO  
Contrôle  
Conclusion

Nage axi-  
symétrique

Contrôle  
Linéarisation  
Numérique  
Conclusion

Conclusion

Dans la configuration de référence, on choisit la densité de masse du nageur comme étant 1.

La déformation  $X(t, \cdot)$  doit conserver :

- la masse :

$$\rho(t, \cdot) = \frac{1}{|\det(\text{Jac } X(t, \cdot))|} \circ X(t, \cdot)^{-1};$$

- la position du centre de masse :

$$\mathbf{0} = \frac{1}{m} \int_{B(t)} \rho(x, t) x \, dx;$$

- le moment angulaire du nageur :

$$\mathbf{0} = \int_{B(t)} \rho(x, t) x \wedge \partial_t X \left( X(\cdot, t)^{-1}(x), t \right) \, dx.$$

Le principe fondamental de la dynamique s'écrit :

$$\begin{aligned} m\ddot{\mathbf{h}} &= \int_{\Sigma^\dagger(t)} \sigma \mathbf{n}^\dagger d\Gamma, \\ \frac{dI\omega}{dt} &= \int_{\Sigma^\dagger(t)} (\mathbf{x} - \mathbf{h}) \wedge \sigma \mathbf{n}^\dagger dx. \end{aligned} \quad (\text{PFD})$$

# Problème couplé

En variables adimensionnées, le passage formel à la limite  $L \rightarrow 0$  aboutit au problème *quasi-statique* :

$$\left\{ \begin{array}{ll} \Delta \mathbf{u} - \nabla p = \rho (\partial_t \mathbf{u} + (\mathbf{u} \cdot \nabla) \mathbf{u}), & \text{dans } F^\dagger(t), \\ \nabla \cdot \mathbf{u} = 0, & \text{dans } F^\dagger(t), \\ \lim_{|\mathbf{x}| \rightarrow \infty} \mathbf{u}(x) = \mathbf{0}, & \end{array} \right. \quad (\text{S})$$

$$\mathbf{u}(t, \mathbf{x}) = \dot{\mathbf{h}} + \boldsymbol{\omega} \wedge (\mathbf{x} - \mathbf{h}) + \mathbf{w}^\dagger(\mathbf{x}, t), \quad \text{sur } \Sigma^\dagger(t), \quad (\text{BC})$$

$$\left\{ \begin{array}{l} \int_{\Sigma^\dagger(t)} \sigma \mathbf{n} \, d\Gamma = m \ddot{\mathbf{h}}, \\ \int_{\Sigma^\dagger(t)} (\mathbf{x} - \mathbf{h}) \wedge \sigma \mathbf{n} \, d\Gamma = \frac{d \, l\boldsymbol{\omega}}{dt}. \end{array} \right. \quad (\text{CM})$$

# Problème couplé

En variables adimensionnées, le passage formel à la limite  $L \rightarrow 0$  aboutit au problème *quasi-statique* :

$$\left\{ \begin{array}{ll} \Delta \mathbf{u} - \nabla p = \mathbf{0}, & \text{dans } F^\dagger(t), \\ \nabla \cdot \mathbf{u} = 0, & \text{dans } F^\dagger(t), \\ \lim_{|\mathbf{x}| \rightarrow \infty} \mathbf{u}(x) = \mathbf{0}, & \end{array} \right. \quad (\text{S})$$

$$\mathbf{u}(t, \mathbf{x}) = \dot{\mathbf{h}} + \boldsymbol{\omega} \wedge (\mathbf{x} - \mathbf{h}) + \mathbf{w}^\dagger(\mathbf{x}, t), \quad \text{sur } \Sigma^\dagger(t), \quad (\text{BC})$$

$$\left\{ \begin{array}{l} \int_{\Sigma^\dagger(t)} \sigma \mathbf{n} \, d\Gamma = \mathbf{0}, \\ \int_{\Sigma^\dagger(t)} (\mathbf{x} - \mathbf{h}) \wedge \sigma \mathbf{n} \, d\Gamma = \mathbf{0}. \end{array} \right. \quad (\text{CM})$$

### 3 Problème de la nage

- Introduction
- Problème physique
- **Déformations d'un nageur**
- Problème de dimension finie
- Résultat de contrôlabilité
- Conclusion et questions ouvertes

# Déformation du nageur

Temps optimal et natation

J. Lohéac

Généralités

Pontryagin

Introduction

Extension

Schrödinger

Conclusion

Nage

Introduction

Modélisation

Déformations

EDO

Contrôle

Conclusion

Nage axi-symétrique

Contrôle

Linéarisation

Numérique

Conclusion

Conclusion

Considérons que la déformation du domaine s'écrit sous la forme :

$$X(t, x) = x + D_0(x) + \sum_{i=1}^n s_i(t) D_i(x),$$

avec  $\mathbf{s} = (s_1, \dots, s_n) \in \mathbb{R}^n$ . Notons  $c = (D_0, (D_1, \dots, D_n))$  et

$$X_c(\mathbf{s}) = I_d + D_0 + \sum_{i=1}^n s_i D_i.$$

On note  $B_c(\mathbf{s}) = X_c(\mathbf{s})(B)$  et  $F_c(\mathbf{s}) = \mathbb{R}^3 \setminus \overline{B_c(\mathbf{s})}$ .

# Déformation du nageur

Temps optimal et natation

J. Lohéac

Généralités

Pontryagin

Introduction

Extension

Schrödinger

Conclusion

Nage

Introduction

Modélisation

Déformations

EDO

Contrôle

Conclusion

Nage axi-symétrique

Contrôle

Linéarisation

Numérique

Conclusion

Conclusion

Considérons que la déformation du domaine s'écrit sous la forme :

$$X(t, x) = x + D_0(x) + \sum_{i=1}^n s_i(t) D_i(x),$$

avec  $\mathbf{s} = (s_1, \dots, s_n) \in \mathbb{R}^n$ . Notons  $c = (D_0, (D_1, \dots, D_n))$  et

$$X_c(\mathbf{s}) = I_d + D_0 + \sum_{i=1}^n s_i D_i.$$

On note  $B_c(\mathbf{s}) = X_c(\mathbf{s})(B)$  et  $F_c(\mathbf{s}) = \mathbb{R}^3 \setminus \overline{B_c(\mathbf{s})}$ .

La vitesse de déformation du nageur est :

$$\mathbf{w}_c(\mathbf{s})(t, \cdot) = \sum_{i=1}^n \dot{s}_i(t) \mathbf{w}_c^i(\mathbf{s})(\cdot),$$

avec  $\mathbf{w}_c^i(\mathbf{s}) = D_i \circ X_c(\mathbf{s})^{-1}$ .

# Espace de déformations

Temps optimal et natation

J. Lohéac

Généralités

Pontryagin

Introduction

Extension

Schrödinger

Conclusion

Nage

Introduction

Modélisation

Déformations

EDO

Contrôle

Conclusion

Nage axi-symétrique

Contrôle

Linéarisation

Numérique

Conclusion

Conclusion

On note  $D_0^1(\mathbb{R}^3)$  la composante connexe contenant 0 de :  
 $\{D \in C_0^1(\mathbb{R}^3)^3, I_d + D \text{ est un } C^1 \text{ difféomorphisme de } \mathbb{R}^3\}$ .

Soit  $c = (D_0, (D_1, \dots, D_n)) \in D_0^1(\mathbb{R}^3) \times (C_0^1(\mathbb{R}^3)^3)^n$  tel que :

- $\{D_1, \dots, D_n\}$  est une famille libre ;
- Pour tout  $i \in \{0, \dots, n\}$  :  $\int_B D_i(x) dx = \mathbf{0}$  ;
- Pour tous  $i, j \in \{1, \dots, n\}$  :  $\int_B D_i(x) \wedge D_j(x) dx = \mathbf{0}$  ;
- Pour tout  $i \in \{1, \dots, n\}$  :  $\int_B (x + D_0(x)) \wedge D_i(x) dx = \mathbf{0}$ .

Un tel  $c$  sera appelé **signature du nageur** et on note  $\mathcal{C}(n) \subset D_0^1(\mathbb{R}^3) \times (C_0^1(\mathbb{R}^3)^3)^n$  l'ensemble de ces éléments.

# Paramètres de déformation

Temps optimal et notation

J. Lohéac

Généralités

Pontryagin

Introduction

Extension

Schrödinger

Conclusion

Nage

Introduction

Modélisation

**Déformations**

EDO

Contrôle

Conclusion

Nage axi-symétrique

Contrôle

Linéarisation

Numérique

Conclusion

Conclusion

Pour  $c \in \mathcal{C}(n)$ , notons  $\mathcal{S}(c)$  la composante connexe contenant  $\mathbf{0}_n$  de l'ensemble :

$$\left\{ (s_1, \dots, s_n)^\top \in \mathbb{R}^n, D_0 + \sum_{i=1}^n s_i D_i \in D_0^1(\mathbb{R}^3) \right\}.$$

### 3 Problème de la nage

- Introduction
- Problème physique
- Déformations d'un nageur
- **Problème de dimension finie**
- Résultat de contrôlabilité
- Conclusion et questions ouvertes

On définit l'opérateur bilinéaire :

$$\begin{aligned} \varphi(F) : H^{\frac{1}{2}}(\partial F)^3 \times H^{\frac{1}{2}}(\partial F)^3 &\rightarrow \mathbb{R} \\ (\mathbf{v}^1, \mathbf{v}^2) &\mapsto \int_F D(\mathbf{u}^1) : D(\mathbf{u}^2) dx, \end{aligned}$$

avec  $(\mathbf{u}^i, p^i)$  la solution du problème de Stokes homogène :

$$\begin{aligned} -\Delta \mathbf{u}^i + \nabla p^i &= \mathbf{0} && \text{dans } F, \\ \operatorname{div} \mathbf{u}^i &= 0 && \text{dans } F, \\ \mathbf{u} &= \mathbf{v}^i && \text{sur } \Sigma. \end{aligned}$$

# Force et Moment II

Temps optimal et notation

J. Lohéac

Généralités

Pontryagin

Introduction

Extension

Schrödinger

Conclusion

Nage

Introduction

Modélisation

Déformations

EDO

Contrôle

Conclusion

Nage axi-symétrique

Contrôle

Linéarisation

Numérique

Conclusion

Conclusion

Notons  $\mathbf{v}_0^1, \dots, \mathbf{v}_0^6$  les conditions limites :

$$\mathbf{v}_0^i(x) = \begin{cases} \mathbf{e}_i & \text{si } i \in \{1, 2, 3\}, \\ \mathbf{e}_{i-3} \wedge x & \text{si } i \in \{4, 5, 6\}, \end{cases} \quad (x \in \Sigma).$$

Soit  $\mathbf{v}_0 \in H^{\frac{1}{2}}(\Sigma)^3$ . Notons  $(\mathbf{u}, p)$  la solution du problème de Stokes homogène associée. Nous avons :

$$(\varphi(F)(\mathbf{v}_0, \mathbf{v}_0^i))_{i \in \{1, \dots, 6\}} = \begin{pmatrix} \int_{\Sigma} \sigma(\mathbf{u}, p) \mathbf{n} \, d\Gamma \\ \int_{\Sigma} \sigma(\mathbf{u}, p) \mathbf{n} \wedge x \, d\Gamma \end{pmatrix}.$$

# Représentation matricielle

Temps  
optimal et  
notation

J. Lohéac

Généralités

Pontryagin

Introduction

Extension

Schrödinger

Conclusion

Nage

Introduction

Modélisation

Déformations

**EDO**

Contrôle

Conclusion

Nage axi-  
symétrique

Contrôle

Linéarisation

Numérique

Conclusion

Conclusion

Soit  $c \in \mathcal{C}(n)$  et  $\mathbf{s} \in \mathcal{S}(c)$ , on note :

$$M_c(\mathbf{s}) = \left( \varphi(F_c(\mathbf{s}))(\mathbf{v}_0^i, \mathbf{v}_0^j) \right)_{\substack{i \in \{1, \dots, 6\} \\ j \in \{1, \dots, 6\}}} \in \mathcal{M}_6(\mathbb{R}) \quad \text{et}$$

$$N_c(\mathbf{s}) = \left( \varphi(F_c(\mathbf{s}))(\mathbf{v}_0^i, \mathbf{w}_c^j(\mathbf{s})) \right)_{\substack{i \in \{1, \dots, 6\} \\ j \in \{1, \dots, n\}}} \in \mathcal{M}_{6,n}(\mathbb{R}).$$

# Représentation matricielle

Temps optimal et notation

J. Lohéac

Généralités

Pontryagin

Introduction

Extension

Schrödinger

Conclusion

Nage

Introduction

Modélisation

Déformations

EDO

Contrôle

Conclusion

Nage axi-symétrique

Contrôle

Linéarisation

Numérique

Conclusion

Conclusion

Soit  $c \in \mathcal{C}(n)$  et  $\mathbf{s} \in \mathcal{S}(c)$ , on note :

$$M_c(\mathbf{s}) = \left( \varphi(F_c(\mathbf{s}))(\mathbf{v}_0^i, \mathbf{v}_0^j) \right)_{\substack{i \in \{1, \dots, 6\} \\ j \in \{1, \dots, 6\}}} \in \mathcal{M}_6(\mathbb{R}) \quad \text{et}$$

$$N_c(\mathbf{s}) = \left( \varphi(F_c(\mathbf{s}))(\mathbf{v}_0^i, \mathbf{w}_c^j(\mathbf{s})) \right)_{\substack{i \in \{1, \dots, 6\} \\ j \in \{1, \dots, n\}}} \in \mathcal{M}_{6,n}(\mathbb{R}).$$

- $M_c(\mathbf{s})$  est symétrique **définie positive**.

# Représentation matricielle

Temps optimal et notation

J. Lohéac

Généralités

Pontryagin

Introduction

Extension

Schrödinger

Conclusion

Nage

Introduction

Modélisation

Déformations

EDO

Contrôle

Conclusion

Nage axi-symétrique

Contrôle

Linéarisation

Numérique

Conclusion

Conclusion

Soit  $c \in \mathcal{C}(n)$  et  $\mathbf{s} \in \mathcal{S}(c)$ , on note :

$$M_c(\mathbf{s}) = \left( \varphi(F_c(\mathbf{s}))(\mathbf{v}_0^i, \mathbf{v}_0^j) \right)_{\substack{i \in \{1, \dots, 6\} \\ j \in \{1, \dots, 6\}}} \in \mathcal{M}_6(\mathbb{R}) \quad \text{et}$$

$$N_c(\mathbf{s}) = \left( \varphi(F_c(\mathbf{s}))(\mathbf{v}_0^i, \mathbf{w}_c^j(\mathbf{s})) \right)_{\substack{i \in \{1, \dots, 6\} \\ j \in \{1, \dots, n\}}} \in \mathcal{M}_{6,n}(\mathbb{R}).$$

- $M_c(\mathbf{s})$  est symétrique **définie positive**.
- $M_c(\mathbf{s})$  et  $N_c(\mathbf{s})$  dépendent **analytiquement** de  $(c, \mathbf{s})$ .

# Système de dimension finie

On écrit (S), (BC) et (CM) sous la forme :

$$\begin{pmatrix} l \\ \omega \end{pmatrix} = -M_c(s)^{-1} N_c(s) \dot{s}, \quad (3)$$

avec  $l = R^\top \dot{h}$  et  $\omega$  tel que  $A(\omega) = R^\top \dot{R}$ .

Notons  $Y_c^i(s) = -M_c(s)^{-1} N_c(s) e_i \in \mathbb{R}^6$  et :

$$Z_c^i(h, R, s) = (R Y_c^i(s)_1, R A(Y_c^i(s)_2, e_i)) \in \mathbb{R}^3 \times \text{SO}(3) \times \mathbb{R}^n.$$

Ainsi, (3) devient :

$$\frac{d}{dt} \begin{pmatrix} h(t) \\ R(t) \\ s(t) \end{pmatrix} = \sum_{i=1}^n \lambda_i Z_c^i(h, R, s) \quad (t \in [0, T]). \quad (\text{CFS})$$

que l'on munit de conditions initiales :

$$h(0) = h_0, \quad R(0) = R_0, \quad s(0) = \mathbf{0}.$$

### 3 Problème de la nage

- Introduction
- Problème physique
- Déformations d'un nageur
- Problème de dimension finie
- **Résultat de contrôlabilité**
- Conclusion et questions ouvertes

# Contrôlabilité en un point particulier

Temps optimal et notation

J. Lohéac

Généralités

Pontryagin

Introduction

Extension

Schrödinger

Conclusion

Nage

Introduction

Modélisation

Déformations

EDO

Contrôle

Conclusion

Nage axi-symétrique

Contrôle

Linéarisation

Numérique

Conclusion

Conclusion

Notons  $c = (0, (D_1, \dots, D_4)) \in \mathcal{C}(4)$  avec :

$$D_1(\rho, \theta, \phi) = \chi(\rho) \operatorname{Re}(Y_{3,1}(\cos \theta, \phi)) \mathbf{e}_\rho,$$

$$D_2(\rho, \theta, \phi) = \chi(\rho) \operatorname{Im}(Y_{3,1}(\cos \theta, \phi)) \mathbf{e}_\rho,$$

$$D_3(\rho, \theta, \phi) = \chi(\rho) \operatorname{Re}(Y_{3,2}(\cos \theta, \phi)) \mathbf{e}_\rho,$$

$$D_4(\rho, \theta, \phi) = \chi(\rho) \operatorname{Re}(Y_{4,2}(\cos \theta, \phi)) \mathbf{e}_\rho.$$

Avec ce choix de paramètres, on obtient :

$$\dim \operatorname{Lie}_{(0, l_3, 0)} \{ \mathbf{Z}_c^1, \dots, \mathbf{Z}_c^4 \} = 10.$$

J. Happel et H. Brenner,

*Low Reynolds number hydrodynamics with special applications to particulate media*, 1965

# Résultat principal

Temps optimal et notation

J. Lohéac

Généralités

Pontryagin

Introduction

Extension

Schrödinger

Conclusion

Nage

Introduction

Modélisation

Déformations

EDO

Contrôle

Conclusion

Nage axi-symétrique

Contrôle

Linéarisation

Numérique

Conclusion

Conclusion

## Théorème

Soient  $\bar{D}_0 \in D_0^1(\mathbb{R}^3)$  telle que  $\int_B \bar{D}_0(x) dx = \mathbf{0}$  et une fonction continue  $t \in [0, T] \mapsto (\bar{h}(t), \bar{R}(t)) \in \mathbb{R}^3 \times \text{SO}(3)$ . Alors, pour tout  $\varepsilon > 0$ , il existe  $D_0 \in D_0^1(\mathbb{R}^3)$  tel que :

$$\int_B D_0(x) dx = \mathbf{0}, \quad \|\bar{D}_0 - D_0\|_{D_0^1(\mathbb{R}^3)} < \varepsilon$$

et pour presque tout  $(D_1, \dots, D_4) \in (C_0^1(\mathbb{R}^3)^3)^4$  tel que  $(D_0, (D_1, \dots, D_4)) \in \mathcal{C}(4)$ , il existe une fonction  $t \in [0, T] \mapsto \lambda(t) \in \mathbb{R}^4$  telle que la solution  $(h, R, s)$  de (CFS) satisfait :

$$\sup_{t \in [0, T]} (|\bar{h}(t) - h(t)| + \|\bar{R}(t) - R(t)\|_{\mathcal{M}_3(\mathbb{R})}) < \varepsilon.$$

### 3 Problème de la nage

- Introduction
- Problème physique
- Déformations d'un nageur
- Problème de dimension finie
- Résultat de contrôlabilité
- Conclusion et questions ouvertes

# Conclusion

## Temps optimal et natation

J. Lohéac

### Généralités

#### Pontryagin

Introduction

Extension

Schrödinger

Conclusion

### Nage

Introduction

Modélisation

Déformations

EDO

Contrôle

**Conclusion**

### Nage axi-symétrique

Contrôle

Linéarisation

Numérique

Conclusion

### Conclusion

- La forme du nageur peut aussi être contrôlée.
- En appliquant le Théorème de Fillipov, on a aussi l'existence d'un contrôle  $\lambda$  optimal.

# Conclusion

## Temps optimal et natation

J. Lohéac

### Généralités

#### Pontryagin

Introduction  
Extension  
Schrödinger  
Conclusion

### Nage

Introduction  
Modélisation  
Déformations  
EDO  
Contrôle  
Conclusion

### Nage axi-symétrique

Contrôle  
Linéarisation  
Numérique  
Conclusion

### Conclusion

- La forme du nageur peut aussi être contrôlée.
- En appliquant le Théorème de Fillipov, on a aussi l'existence d'un contrôle  $\lambda$  optimal.
  
- Avec moins de quatre déformations de base ?
- Cas d'un fluide de Stokes (d'évolution) ou Navier-Stokes ?
- Contrôlabilité dans un domaine fluide borné ?

- 1 Généralités sur les problèmes de contrôle
- 2 Temps optimal pour des systèmes de dimension infinie
- 3 Problème de la nage
- 4 Nage en symétrie axiale**
  - Problème de contrôle
  - Étude d'un problème simplifié
  - Simulations numériques
  - Conclusion et questions ouvertes
- 5 Conclusion générale

- ## 4 Nage en symétrie axiale
- Problème de contrôle
  - Étude d'un problème simplifié
  - Simulations numériques
  - Conclusion et questions ouvertes

# Système de coordonnées

## Temps optimal et natation

J. Lohéac

### Généralités

#### Pontryagin

Introduction

Extension

Schrödinger

Conclusion

### Nage

Introduction

Modélisation

Déformations

EDO

Contrôle

Conclusion

### Nage axi-symétrique

#### Contrôle

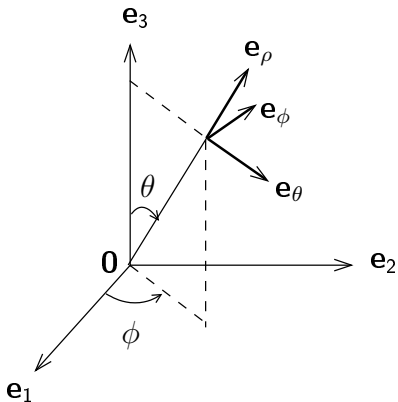
Linéarisation

Numérique

Conclusion

### Conclusion

On suppose que les déformations du nageur sont indépendantes de  $\phi$  et n'ont pas de composantes suivant  $e_\phi$ .



Système de coordonnées

# Déformations élémentaires

Temps  
optimal et  
notation

J. Lohéac

Généralités

Pontryagin

Introduction

Extension

Schrödinger

Conclusion

Nage

Introduction

Modélisation

Déformations

EDO

Contrôle

Conclusion

Nage axi-  
symétrique

Contrôle

Linéarisation

Numérique

Conclusion

Conclusion

On considère une déformation  $X_c$  du type :

$$X_c(\mathbf{s}(t)) = I_d + \sum_{i=1}^n \mathbf{s}_i(t) D_i,$$

avec les déformations élémentaires :

$$D_i(\rho, \theta, \phi) = \rho \chi(\rho) P_{i+1}(\cos(\theta)) \mathbf{e}_\rho$$

et  $c = (0, (D_1, \dots, D_n)) \in \mathcal{C}(n)$ .

Il existe  $\varsigma > 0$  tel que pour tout  $\mathbf{s} \in \mathbb{R}^n$  tel que  $|\mathbf{s}| \leq \varsigma$  alors  $X_c(\mathbf{s})$  est un  $C^1$ -difféomorphisme de  $\mathbb{R}^3$ .

La solution  $(\mathbf{h}, R, \mathbf{s})$  de (CFS) munie de la condition initiale :  
 $(\mathbf{h}, R, \mathbf{s})(0) = (\mathbf{0}, I_3, \mathbf{0})$ ,  
satisfait :  $\mathbf{h} = h \mathbf{e}_3$  et  $R = I_3$ .

La solution  $(\mathbf{h}, R, \mathbf{s})$  de (CFS) munie de la condition initiale :  
 $(\mathbf{h}, R, \mathbf{s})(0) = (\mathbf{0}, I_3, \mathbf{0})$ ,  
 satisfait :  $\mathbf{h} = h \mathbf{e}_3$  et  $R = I_3$ .

Le système (CFS) se récrit comme :

$$\frac{d}{dt} \begin{pmatrix} h \\ \mathbf{s} \end{pmatrix} = \begin{pmatrix} \langle \mathbf{f}_c(\mathbf{s}), \boldsymbol{\lambda} \rangle \\ \boldsymbol{\lambda} \end{pmatrix}. \quad (\text{CFSaxi})$$

On le munit des conditions initiales :

$$h(0) = 0, \quad \mathbf{s}(0) = \mathbf{0}. \quad (\text{Claxi})$$

## Question

Étant donné  $h_1 \neq 0$ , existe-t-il  $T > 0$  et  $\lambda : [0, T] \rightarrow \mathbb{R}^n$  tel que la solution  $(h, s)$  du système (CFSaxi)-(Claxi) satisfasse :

- $h(T) = h_1$  et  $s(T) = \mathbf{0}$  ;
- $|s(t)| \leq \varsigma$  ( $t \in [0, T]$ ).

Pour tout  $n \geq 2$ , la réponse est affirmative.

## Question

Étant donné  $h_1 \neq 0$ , existe-t-il  $T > 0$  et  $\lambda : [0, T] \rightarrow \mathbb{R}^n$  tel que la solution  $(h, s)$  du système (CFSaxi)-(Claxi) satisfasse :

- $h(T) = h_1$  et  $s(T) = \mathbf{0}$  ;
- $|s(t)| \leq \varsigma$  ( $t \in [0, T]$ ).

Pour tout  $n \geq 2$ , la réponse est affirmative.

De plus, en appliquant le théorème de Fillipov, ce contrôle peut être réalisé en un temps minimal,  $T^* > 0$ . Avec l'hypothèse supplémentaire :

$$|\lambda(t)| \leq 1 \quad (t \in [0, T]).$$

- ## 4 Nage en symétrie axiale
- Problème de contrôle
  - Étude d'un problème simplifié
  - Simulations numériques
  - Conclusion et questions ouvertes

# Simplification

Temps  
optimal et  
natation

J. Lohéac

Généralités

Pontryagin

Introduction

Extension

Schrödinger

Conclusion

Nage

Introduction

Modélisation

Déformations

EDO

Contrôle

Conclusion

Nage axi-  
symétrique

Contrôle

**Linéarisation**

Numérique

Conclusion

Conclusion

Pour  $s$  petit, on écrit :

$$f_c(s) = f_c(0) + \nabla f_c(0)s + o(s) = K_c s + o(s).$$

On a  $K_c \neq K_c^T$ .

# Simplification

Pour  $s$  petit, on écrit :

$$f_c(s) = f_c(0) + \nabla f_c(0)s + o(s) = K_c s + o(s).$$

On a  $K_c \neq K_c^T$ .

On considère alors l'EDO approchée :

$$\frac{d}{dt} \begin{pmatrix} h \\ s \end{pmatrix} = \begin{pmatrix} \langle K_c s, \lambda \rangle \\ \lambda \end{pmatrix}. \quad (\text{Capp})$$

On munit ce système de la condition initiale :

$$h(0) = 0, \quad s(0) = 0. \quad (\text{Clapp})$$

# Caractérisation de $T^*$ |

## Contrôles en temps optimal

Temps  
optimal et  
natation

J. Lohéac

Généralités

Pontryagin

Introduction

Extension

Schrödinger

Conclusion

Nage

Introduction

Modélisation

Déformations

EDO

Contrôle

Conclusion

Nage axi-  
symétrique

Contrôle

Linéarisation

Numérique

Conclusion

Conclusion

### Théorème (J. L., J.-F. Scheid)

Soient  $\lambda^* = \max \{ |\lambda|, \lambda \in \text{sp} \left( \frac{1}{2} (K_c - K_c^T) \right) \}$ ,

$$d^* = \sqrt{\frac{2|h_1|}{\pi\lambda^*}} \text{ et } \tau = \frac{\pi\zeta}{2}.$$

$$T^* \text{ est donné par : } T^* = \begin{cases} \pi d^* & \text{si } \zeta \geq d^*, \\ \frac{\pi d^{*2}}{2\zeta} + \tau & \text{sinon.} \end{cases}$$

De plus, un contrôle en temps optimal est :

$$\lambda(t) = \gamma_1(t)\mathbf{w}_1 + \gamma_2(t)\mathbf{w}_2 \quad (t \in [0, T^*]),$$

où  $\mathbf{w}_1, \mathbf{w}_2 \in \mathbb{R}^n$  sont deux vecteurs orthonormés tels que :

$$\frac{1}{2}(K_c - K_c^T)\mathbf{w}_1 = \lambda^*\mathbf{w}_2 \quad \text{et} \quad \frac{1}{2}(K_c - K_c^T)\mathbf{w}_2 = -\lambda^*\mathbf{w}_1.$$

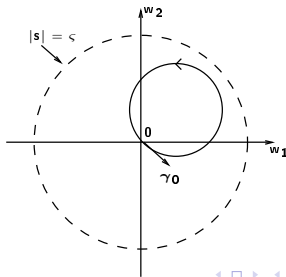
### Théorème (J. L., J.-F. Scheid, suite)

Soit  $\gamma_0 \in \mathbb{R}^2$  choisi de sorte que  $|\gamma_0| = 1$ .

La fonction  $\gamma = (\gamma_1, \gamma_2) \in C^0([0, T^*])^2$  est définie par :

- si  $\varsigma \geq d^*$ ,

$$\gamma(t) = R\left(\operatorname{sg}(h_1) \frac{2\pi}{T^*} t\right) \gamma_0 \quad (t \in [0, T^*]).$$



# Caractérisation de $T^*$ III

## Contrôles en temps optimal

Temps optimal et natation

J. Lohéac

Généralités

Pontryagin

Introduction

Extension

Schrödinger

Conclusion

Nage

Introduction

Modélisation

Déformations

EDO

Contrôle

Conclusion

Nage axi-symétrique

Contrôle

Linéarisation

Numérique

Conclusion

Conclusion

### Théorème (J. L., J.-F. Scheid, suite)

- si  $\varsigma < d^*$ ,

$$\gamma(t) = \begin{cases} R \left( \frac{2 \operatorname{sg}(h_1)}{\varsigma} t \right) \gamma_0 & (t \in [0, \tau]), \\ -R \left( \frac{\operatorname{sg}(h_1)}{\varsigma} (t - \tau) \right) \gamma_0 & (t \in [\tau, T^* - \tau]), \\ R \left( \frac{\operatorname{sg}(h_1)}{\varsigma} (2t - 3(T^* - \tau)) \right) \gamma_0 & (t \in [T^* - \tau, T^*]). \end{cases}$$

# Caractérisation de $T^*$ IV

## Contrôles en temps optimal

Temps optimal et notation

J. Lohéac

Généralités

Pontryagin

Introduction

Extension

Schrödinger

Conclusion

Nage

Introduction

Modélisation

Déformations

EDO

Contrôle

Conclusion

Nage axi-symétrique

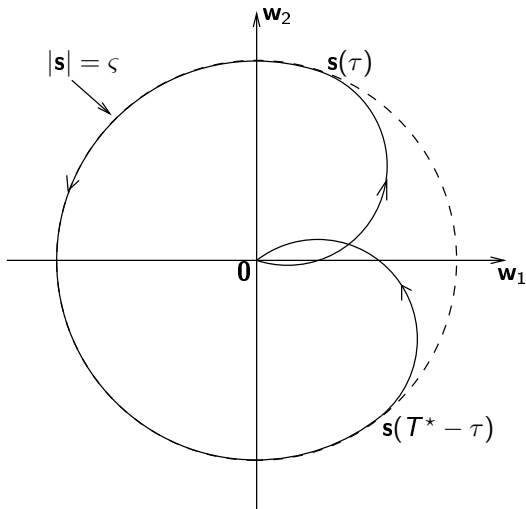
Contrôle

Linéarisation

Numérique

Conclusion

Conclusion



# Idée de la preuve

## Temps optimal et natation

J. Lohéac

### Généralités

#### Pontryagin

Introduction  
Extension  
Schrödinger  
Conclusion

#### Nage

Introduction  
Modélisation  
Déformations  
EDO  
Contrôle  
Conclusion

#### Nage axi-symétrique

Contrôle  
**Linéarisation**  
Numérique  
Conclusion

#### Conclusion

- 1 Seule la partie antisymétrique de  $K_C$  joue un rôle ;
- 2  $K_C$  peut se diagonaliser par blocs  $2 \times 2$  dans une base orthonormée ;
- 3 On intègre le principe du maximum de Pontryagin dans le cas  $n = 2$  ;
- 4 On généralise au cas de dimension  $n \geq 2$ .

- ## 4 Nage en symétrie axiale
- Problème de contrôle
  - Étude d'un problème simplifié
  - **Simulations numériques**
  - Conclusion et questions ouvertes

# Simulation directe

## Temps optimal et natation

J. Lohéac

## Généralités

### Pontryagin

Introduction  
Extension  
Schrödinger  
Conclusion

### Nage

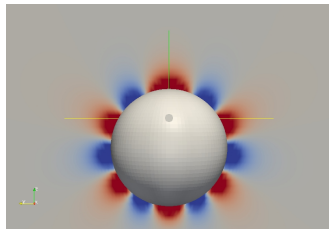
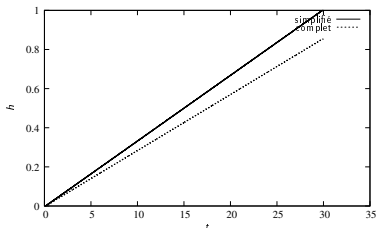
Introduction  
Modélisation  
Déformations  
EDO  
Contrôle  
Conclusion

### Nage axi-symétrique

Contrôle  
Linéarisation  
**Numérique**  
Conclusion

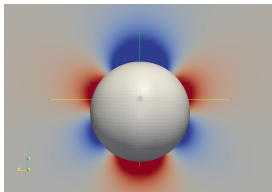
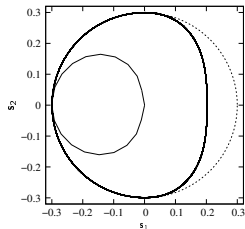
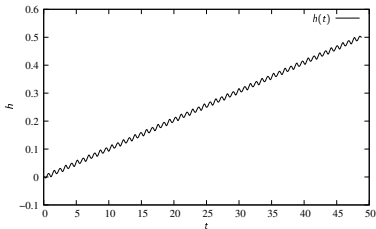
### Conclusion

On utilise le contrôle en temps optimal obtenu pour le système simplifié comme entrée du système complet.



# Système complet

Pour calculer un contrôle en temps optimal, on utilise une méthode directe initialisée avec le contrôle en temps optimal obtenu pour le système simplifié.



- ## 4 Nage en symétrie axiale
- Problème de contrôle
  - Étude d'un problème simplifié
  - Simulations numériques
  - Conclusion et questions ouvertes

# Conclusion

## Temps optimal et natation

J. Lohéac

### Généralités

#### Pontryagin

Introduction  
Extension  
Schrödinger  
Conclusion

#### Nage

Introduction  
Modélisation  
Déformations  
EDO  
Contrôle  
Conclusion

#### Nage axi-symétrique

Contrôle  
Linéarisation  
Numérique  
Conclusion

#### Conclusion

- Simulation numérique pour des formes éloignées d'une sphère.
- Simulation dans un fluide de Stokes (d'évolution) ou Navier-Stokes.

- 1 Généralités sur les problèmes de contrôle
- 2 Temps optimal pour des systèmes de dimension infinie
- 3 Problème de la nage
- 4 Nage en symétrie axiale
- 5 Conclusion générale**

# Conclusion générale

Temps  
optimal et  
natation

J. Lohéac

Généralités

Pontryagin

Introduction

Extension

Schrödinger

Conclusion

Nage

Introduction

Modélisation

Déformations

EDO

Contrôle

Conclusion

Nage axi-  
symétrique

Contrôle

Linéarisation

Numérique

Conclusion

Conclusion

Dans cette thèse, nous avons :

- appliqué le principe du maximum de Pontryagin pour un système dynamique de dimension finie avec des contraintes sur l'état ;
- étendu ce principe à une certaine classe de systèmes de dimension infinie ;
- donné un résultat de contrôlabilité original pour la nage des micro-organismes.